

ارزیابی فرایندهای مؤثر بر شکل‌گیری و تحول کوه‌ریگ‌ها (موردمطالعه: کوه‌ریگ‌های تنگ چnar)

محمد شریفی پیچون* - استادیار گروه جغرافیا، دانشگاه یزد
فاطمه دهقان - کارشناس ارشد ژئومورفولوژی، گروه جغرافیا، دانشگاه یزد

تأثیر نهایی: ۱۳۹۵/۱۱/۲۶ پذیرش مقاله: ۱۳۹۵/۰۵/۰۷

چکیده

کوه‌ریگ‌ها گونه‌ای از تهدیت‌های رسوی ماسه‌ای هستند که در دامنه برخی تپه‌ها و کوه‌های مناطق خشک و نیمه‌خشک تشکیل می‌شوند. در محدوده تنگ چnar در پای دامنه و بر روی دامنه کوه‌ها تجمعات ماسه‌ای با مورفولوژی‌های متفاوت دیده می‌شود که اغلب آن‌ها در شرایط کنونی ثابت بوده و احتمالاً مربوط به شرایط اقلیمی گذشته‌اند. هدف این پژوهش بررسی این عارضه‌ها به‌منظور شناخت شرایط و محیط شکل‌گیری و فرایندهای مؤثر در تشکیل آن‌ها می‌باشد. برای انجام این کار به دانه سنگی و تحلیل رسوب کوه‌ریگ‌ها در بخش‌های مختلف منطقه پرداخته شد. بدین ترتیب، در مرحله اول ۱۶ نمونه رسوی از منطقه موردمطالعه برداشت و پس از دانه سنگی، تحلیل و پارامترهای آماری رسویات بررسی شدند. به دلیل شباهت در مناطق نمونه‌برداری و همچنین نتایج تحلیل پارامترهای رسوی، نمونه‌ها به پنج جامعه آماری با ویژگی‌های تقریباً مشابه تقسیم و مورد تحلیل قرار گرفتند. همچنین، از تحلیل واریانس یکراهم و آزمون توکی جهت بررسی معنی‌دار بودن اختلاف بین متغیرهای مختلف در سطح ۹۵ درصد برای فرایندهای مؤثر در جابجایی و نهشته‌گذاری آن‌ها استفاده گردید. مشاهده اندازه دانه‌ها و سرت شدگی ظاهری آن‌ها در نگاه اول حاکی از دخالت فرایند بادی در جابجایی و رسوب گذاری آن‌ها به شکل تپه‌های ماسه‌ای بیابانی است. اما، بررسی و آزمایش ویژگی‌های رسوی مانند شکل، اندازه ذرات و پارامترهای مختلف آماری و همچنین نمودار هیستوگرام کوه‌ریگ‌ها در بخش‌های مختلف منطقه حاکی از تفاوت رسویات به شکل چشمگیر از نظر نوع فراینده است. نتایج نشان داد که فرایندهای دامنه‌ای، کوه‌ریختی، فلوبالی، بادی، بادی-آبی در قلمرو مورفوژنتیک و مورفوکلیماتیک جنب یخچالی با رخمنون سنگ‌های دانه‌ای مانند گرانیت‌ها در شکل‌گیری و توسعه این کوه‌ریگ‌ها نقش اصلی را بر عهده داشته‌اند.

واژگان کلیدی: حوضه تنگ چnar، کوه‌ریگ، فرایند بادی، دانه سنگی.

مقدمه

کوهريگ^۱ يكى از انواع تجمع رسوبات ماسه‌اي است که در دامنه برخى کوهها و تپه‌های نواحي خشك و نيمه خشك قرار گرفته است. اين اصلاح را مردم استان يزد و كرمان از قدیم‌الایام برای اين نوع عارضه به کار مى‌برده‌اند. اين پدیده در جاهای دیگر دنيا ماسه بالارونده^۲ خوانده مى‌شده‌اند(لنکستر و چاکرین، ۱۹۹۶ به نقل از مهر شاهی ۱۳۷۷: ۱۰۹). نهشته‌های ماسه‌های ساحلی و مجرای رودخانه‌ها، تپه‌های ماسه‌ای بیابانی، لس‌ها، نهشته‌های يخچالی همه از انواع رسوب‌های شناخته شده هستند. کوهريگ هم از انواع دیگر نهشته‌های رسوبی است که در بیابان‌ها شکل‌گرفته است. بررسی کوهريگ‌ها در مناطق مختلف نشان می‌دهد که با وجود آنکه مواد تشکيل‌دهنده اين تپه‌ها اغلب از ماسه‌بادی بوده و شكل لندرم‌های ماسه در پايكوهها متراكم شده‌اند ولی در داخل آن‌ها لايه‌های نامنظمی از رسوبات آبرفتی و دامنه‌ای نيز مشاهده می‌شود. وجود رسوبات غير بادي در کوهريگ‌ها، نشانه تأثير متنابوب فرآيندهای غير بادي در تشکيل و تکامل اين پدیده به شمار رفته و اين می‌تواند مهم‌ترین تفاوت اين ژئوفرم با تل‌ماسه‌های بادي باشد. اين عارضه در برخى مناطق بیابانی دنيا و اغلب در پاي دامنه کوهها شکل‌گرفته است. باين وجود، در بيشتر موارد سطح آن‌ها توسيط مواد رسوبی يا سنگ‌های پايان آمده از دامنه‌ها و حتى پوشش گياهی پوشانده شده و ممکن است به سادگی در اين بیابان‌ها هم قابل مشاهده نباشد. کوهريگ‌ها هم به عنوان تپه‌های توپوگرافی مجاور و متصل به کوهها و هم به شكل مخروط‌های افکنه و مخروط‌های تالوس(با سطح سنگی) قابل مشاهده هستند. باين حال، تنها جايی که بريدگی يا ترانشه هایی - به شكل طبیعی يا انسان‌ساخت در کوهريگ‌ها ايجاد شده باشد ماهیت واقعی آن‌ها قابل بررسی و مطالعه است.

در مورد انواع رسوبات و ماسه‌های بادي، بهويژه تپه‌های ماسه‌ای بادي مطالعات نسبتاً مفصلى در سراسر جهان انجام گرفته است اما، مطالعه کوهريگ‌ها چندان قدیمي نیست و به حدود دهه ۹۰ میلادی برمی‌گردد. اصطلاح کوهريگ اولین بار توسيط چاکريان^۳ در رساله دكتري در ۱۹۸۹ برای يك سري عارضه بیابانی در بیابان موجاو در کاليفرنیا مورداستفاده قرار گرفت و در مقالات و نوشته‌های بعدی او در دهه ۹۰ تکرار گردید(چاکريان، ۱۹۹۱، لنکستر و چاکريان، ۱۹۹۶، چاکريان و لنکستر، ۲۰۰۲). از نظر او حوضه و بستر توپوگرافیکی مناسب امكان تجمع رسوبات ريزدانه را بر روی دامنه‌ها توسيط باد در نواحي بیابانی فراهم می‌کنند. به نظر مى‌رسد اولين پژوهش منتشر شده در زمينه کوهريگ‌ها متعلق به زيمبلمن^۴ و همكاران او (۱۹۹۵) در مورد کوهريگ‌های بیابان موجاو در کاليفرنیا تعلق دارد. آن‌ها در اين پژوهش به بررسی پراکنش و مشخصات رسوبی کوهريگ‌ها پرداختند و با استفاده از سنجش از دور فعال بودن و يا عدم فعالیت اين تپه‌های رسوبی را مشخص نمودند. آن‌ها همچنین اظهار داشتند که کوهريگ‌ها در جاهای شکل می‌گيرند که موانيع مانند دامنه تپه‌ها و کوهها در مسیر حرکت ماسه‌های بادي قرار بگيرد. وارن و ليونگستون^۵ (۱۹۹۶) بيان کردنده که کوهريگ‌ها عارضه پيچيده‌ای هستند که ممکن است در اثر صعود يا نزول ماسه‌ها و دانه‌های رسوبی از دامنه کوهها به وجود بیابند. بنابراین در اثر فرایندهای جرياني يا نيري ثقل به‌پاي دامنه کوهها مى‌ریزند. از نظر آن‌ها نيز کوهريگ‌ها ترکيبی از ماسه‌های بادي، نهشته‌های تالوس، جريان‌های تخربي و نهشته‌های آبرفتی و کوهرفتی‌اند. هرچند که ممکن است در ايجاد کوهريگ يكى يا چند تا از اين عوامل نقش ايفا کنند. اين پيچيدگی و تشکيل شدن شان توسيط فرایندهای مختلف مانند باد، آب و حرکات توده‌ای گويای آن است که کوهريگ‌ها اطلاعات ديرينه محيطی غنى را در خود نهفته دارند. لانکستر(۱۹۹۶) بامطالعه کوهريگ‌های موجاو در کاليفرنیا بيان داشت که کوهريگ‌گ تجمعي از نهشته‌های بادرفتی،

1 -Sand Ramps

2 -Sand Ramps

3 -Tchakerian

4 -Zimbelman et al

5 -Mojave

6 -Warren & Livingstone

آبرفتی و تالوس ها است که نتیجه برهمکش فرایند بادی و فرایندهای دامنه‌ای در مجاورت ناهمواری‌ها هستند و جنب کریدرهای انتقال ماسه به شکل محلی و منطقه‌ای اتفاق می‌افتد. به هنگام پایداری این عارضه‌ها، تالوس ها و پالئوسل ها بر روی آن‌ها قرارگرفته و آن‌ها را می‌پوشانند. بررسی کوهريگ‌های جنوب نامibia نشان داده است که این لند فرم‌ها در دو مقطع زمانی متفاوت ایجاد شده‌اند. برخی از آن‌ها که قدیمی‌تر بوده از کانی‌های بازالتی بیشتری نسبت به کوهريگ‌های جدیدتر برخوردارند (برترام ۲۰۰۳). او در بررسی‌های خود مشاهده می‌کند که حجم زیادی از کوهريگ‌ها جدید بوده که از نظر شکلی آن‌ها را به سه دسته تقسیم می‌کند: در دامنه بادگیر حجم زیادی از رسوب‌ها به شکل کوهريگ قرارگرفته‌اند. در بخش بادپناه دامنه‌ها حجم رسوبات بسیار کمتر است. همچنین، برخی از آن‌ها در زاویه‌های پرشیب و برخی در زاویه‌های کم شیب تری قرارگرفته‌اند. از نظر او، مشخص ترین ویژگی رسوبی کوهريگ‌ها شکل‌گیری آن‌ها توسط رسوب‌گذاری بادی و آبشناسی دامنه‌هاست. ماهان و همکاران (۲۰۰۷)، ضمن مطالعه رسوبات آبرفتی و سیلابی کواترنری در شمال شرق بیابان موها برای سن گذاری لومینیسانس مقاطعی از کوهريگ‌های این منطقه اقدام کردند که زمان تشکیل این کوهريگ‌ها نشان داد که اگرچه عمدۀ سابقه تشکیل آن‌ها به دوره‌های سرد یخچالی می‌رسد ولی حتی در طول هولوسن هم بسته به جهت و میزان ماسه‌های بادآورده امکان تراکم آن‌ها وجود دارد. بیتمن و همکاران^۳ (۲۰۱۲) در مطالعه خود بر روی شکل‌گیری کوهريگ‌ها در بیابان موها به این نتیجه رسیدند که کوهريگ‌ها با سرعت بالایی تشکیل می‌شوند؛ به‌ویژه جایی که منابع ماسه کافی در اختیار بوده و بستر مناسب برای رسوب‌گذاری وجود داشته باشد. بنابراین در طولانی‌مدت بر روی زمین باقی‌مانده و کمتر تحت تأثیر نوسانات اقلیمی قرار می‌گیرند/ تلفر و همکاران^۴ (۲۰۱۲) به مطالعه کوهريگ‌های پارک ملی گلدن گیت^۵ در افریقای جنوبی پرداختند و مشاهده نمودند که ابیشت رسوب‌ها به شکل کوهريگ پس از آخرین دوره یخچالی و دوره حاکمیت جنوب یخچالی در بازه زمانی ۱۶ تا ۴۵ هزار سال پیش اتفاق افتاده است. کومار و همکاران (۲۰۱۶) به بررسی کوهريگ‌های منطقه لاداخ در هندوستان و سن سنجی^۶ آن بر اساس تکنیک لومینیسانس^۷ پرداختند. نتایج مطالعات آن‌ها نشان داد که کوهريگ‌ها در این منطقه در اثر ترکیبی از فعالیت‌های بادی، فرسایش دامنه‌ها و فعالیت‌های رسوب‌های جریانی-دریاچه‌ای به وجود آمده است.

می‌توان گفت که بسیاری از مطالعات دهه ۹۰ و حتی در دهه اول قرن بیست و یکم بر روی سن سنجی^۸ کوهريگ‌ها با استفاده از تکنیک لومینیسانس^۹ متمرکز بود از جمله کلارک(۱۹۹۴)، رنل^{۱۰} و همکاران(۱۹۹۴)، کلارک و همکاران(a1996)، کلارک و همکاران،(b1996)، رنل و شافر(۱۹۹۶)، کلارک و رنل(۱۹۹۸) و برترام(۲۰۰۳) انجام گرفت. همچنین در زمینه ژئومورفولوژی کوهريگ‌ها توسط لانکستر و چاکریان(۱۹۹۶ و ۲۰۰۳)، چاکریان و لانکستر(۲۰۰۲) و بیتمن و همکاران ۲۰۱۲ مطالعات دیگری نیز انجام گرفته است. در ایران نیز مطالعات بر روی عارضه کوهريگ به مهرشاهی(۱۳۷۷، ۱۳۷۹، ۱۳۹۰) محدود شده است. ایشان در اولین پژوهش خود در این زمینه به مطالعه تشکیل، تحول و تعیین سن کوهريگ‌های اردکان پرداخت(مهرشاهی و همکاران، ۱۳۷۷). نتایج حاصل از این پژوهش

1 -Paleosol

2 -Bertram

3 -Bateman

4 - Telfer

5 -Golden Gate

6 -Ladakh

7 -Choronology

8 -Luminescence

9 Choronology

10 -Luminiscence

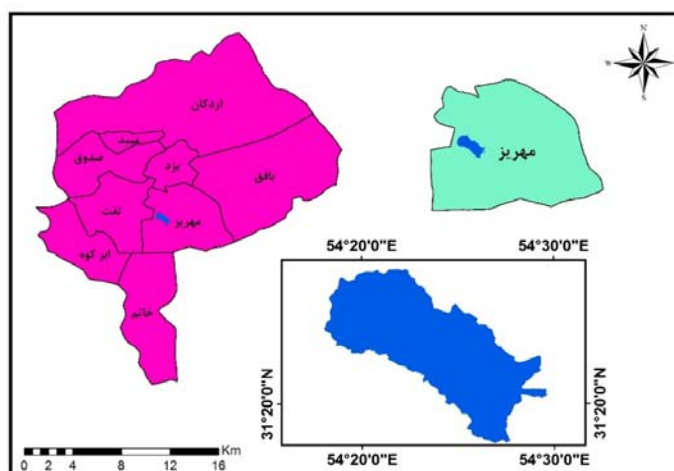
11 -Clarke

12 -Rendell

نشان داد که شرایط در زمان حداکثر آخرین دوره یخچالی جهت حمل و تراکم ماسه‌بادی در این منطقه مناسب‌تر از حال حاضر بوده است. چراکه در حال حاضر ماسه زیادی برای تعذیه آن وجود ندارد. همچنین، آن‌ها درنتیجه مطالعه خود اظهار داشتند که جهت بادها در زمان شکل‌گیری این تپه‌ها با جهت بادهای کنونی متفاوت بوده است. از نظر آن‌ها، افت دما سبب افزایش هوازدگی فیزیکی شده و این خود واریزه‌ها را بیشتر نموده است. سن‌یابی نوری حدود ۲۵ متر از نهشته‌های بادی و واریزهای به وجود آورنده کوه‌ریگ اردکان در حدود حداکثر آخرین دوره یخچالی به جا گذاشته‌شده‌اند. نوع رسوب‌ها دال بر سلطه آب‌وهواهی سرد، خشک و احتمالاً طوفانی‌تر از امروز در محل است. این شرایط حداقل برای یک دوره ۵۰۰۰ ساله به هنگام استقرار پرفشار سیبری در ناحیه وجود داشته است(تامس و همکاران، ۱۹۹۷). همچنین، ایشان در سال (۱۳۷۹)، به مطالعه کوه‌ریگ شناسی در استان یزد در سه منطقه کوه‌ریگ‌های معدن حوض سفید (اردکان یزد)؛ کوه‌ریگ‌های بغداد آباد (مهریز)؛ کوه‌ریگ‌های شیرکوه در استان یزد با استفاده از ۳ روش مروری، توصیفی و میدانی پرداخته است که هدف از آن را معرفی این پدیده، بررسی ویژگی‌های رسوب‌شناسی و موقعیت استقرار کوه‌ریگ‌ها را در استان یزد مطرح نموده است. مهرشاهی و خسرویانی (۱۳۸۹)، در مطالعه کوه‌ریگ‌های دامنه باختری تپه‌های بغداد آباد مهریز، به دنبال منشاء‌ای ماسه‌های کوه‌ریگ‌های منطقه مذکور بوده و برای دستیابی به این هدف از ترکیب داده‌ها و روش‌های ژئومورفولوژی، کانی‌شناسی، سنجش از دور و سیستم اطلاعات جغرافیایی استفاده نموده‌اند. این پژوهش نیز به دنبال بررسی شرایط شکل‌گیری عارضه کوه‌ریگ و نقش فرایندهای مختلف در به وجود آوردن آن‌ها در محدوده حوضه تنگ چnar در جنوب شهرستان مهریز است. رسوبات کوه‌ریگ در منطقه موردمطالعه، برخلاف تپه‌های ماسه‌ای، در مناطق پرشیب‌تر با ظاهر و مورفو‌لوژی متفاوت در پای دامنه و حتی بر روی دامنه کوه‌ها در ارتفاعات اغلب بالا شکل‌گرفته است. این عارضه‌ها در حال حاضر اغلب به شکل تثبیت شده درآمده و در دوره‌های گذشته زمین‌شناسی با شرایط اقلیمی متفاوت از نظر رطوبتی و برودتی به وجود آمده است. از این‌رو، بررسی آن‌ها در بازسازی شرایط محیطی دیرینه و درک رخدادهای گذشته حائز اهمیت زیادی است. همچنین، مطالعه آن‌ها تفاوت‌شان را با تپه‌های ماسه‌ای از نظر مورفو‌دینامیک و مورفو‌کلاماتیک مشخص می‌سازد.

محدوده موردمطالعه

محدوده مطالعاتی در جنوب استان یزد و در شهرستان مهریز واقع شده است. این محدوده از ۵۴ درجه و ۱۸ دقیقه تا ۵۴ درجه و ۲۹ دقیقه طول شرقی و ۳۱ درجه و ۱۸ دقیقه عرض شمالی گسترش یافته است(شکل ۱).



شکل ۱: موقعیت منطقه تنگ چnar

منطقه موردمطالعه در دامنه‌های جنوب شرقی شیرکوه به شکل یک ناویس یا چاله فرسایشی قرارگرفته و سبب جدایی بخشی از این دامنه‌ها از کوه بزرگ شیرکوه گردیده است. بدین روی، از نظر زمین‌شناسی، چه به لحاظ ساختاری و چه لیتوژوئی جزئی از شیرکوه به شمار می‌آید(شکل ۲). شیرکوه از نظر ژئومورفولوژی جزء کوههای پراکنده ایران مرکزی به شمار رفته و از نظر ساختمان زمین‌شناسی در نزدیکی مرز زون ایران مرکزی و کمربند ارومیه دختر قرارگرفته است. قدیمی‌ترین سنگ‌های رخمنون یافته در سطح منطقه را سنگ‌های دگرگون‌شده هم‌ارز سازند که تشکیل می‌دهد. واحدهای چینه‌شناسی پرکامبرین تا پالئوزوئیک در طول ارتفاعات حاشیه شمالی و جنوبی منطقه گسترش یافته و بیشترین رخمنون‌های موجود در این ارتفاعات را سنگ‌های آذرین و رسوی سنوزوئیک تشکیل می‌دهد. در دوره ژوراسیک میانی، با تولیت گرانیتی شیرکوه در منطقه نفوذ و در فاصله زمانی ژوراسیک بالا-کرتاسه زیرین واحد تخریبی سنگستان با ناپیوستگی آذرین بر روی گرانیت شیرکوه رسوب کرده است. سنگ‌های گرانیتی در شمال غرب و واحدهای سنگی مژوزوئیک نیز در شمال، جنوب شرق و جنوب غرب منطقه بروزند دارد. متوسط بارش سالانه حوضه برابر با ۲۲۶ میلی‌متر است. ماه دی با دارا بودن بیش از ۲۰ درصد بارندگی سالیانه پرباران‌ترین ماه سال می‌باشد. بیشتر بخش‌های محدوده تنگ چنان از رسوب‌های ماسه‌ای تشکیل شده و تنها در بعضی بخش‌های آن خاک فقیر و نیمه تکامل قابل مشاهده است. بر همین اساس، پوشش گیاهی منطقه هم مرتع فقیر بوده و تنها در بعضی بخش‌های منطقه زمین‌های زراعی وجود دارد.



شکل ۲: محدوده موردمطالعه، اقتباس از گوگل ارث

روش تحقیق

به منظور بررسی کوههای موردمطالعه، در دو بازه زمانی مختلف یعنی تاریخ ۹۳/۷/۸ و ۹۴/۸/۲۲ از محدوده موردمطالعه بازدید به عمل آمد. در مطالعات میدانی ضمن بررسی و کنترل نقشه‌های اولیه و مشاهده ویژگی‌های کوههایی به برداشت نمونه‌هایی از رسوب‌های کوههای رنگ، بافت و حجم متفاوت به نظر می‌رسیدند اقدام گردید. نحوه نمونه‌برداری به این صورت بود که در امتداد دره اصلی حوضه، از بالادست حوضه تا بخش‌های پایین‌دست حوضه در مناطقی که رسوبات از نظر شکل، حجم، رنگ، ضخامت و ارتفاع تفاوت‌هایی باهم داشتند نمونه‌برداری انجام گرفت. در بازدید اول ۱۵ نوع نمونه رسوب ماسه‌ای برداشت گردید و در بازدید دوم بر روی دامنه ارتفاعات بالادست حوضه و در ارتفاع حدود ۲۴۰۰ متری رسوب‌هایی مشاهده گردید که از ۱۵ نمونه قبلی متفاوت بود. از این‌رو، از این رسوب‌ها نیز یک نمونه برداشت شد. بدین صورت در مجموع ۱۶ نمونه رسوبی از منطقه موردمطالعه اخذ گردید. در دو بخش از منطقه که دو مقطع یا نیمرخ

عمودی(یکی در کار رودخانه در بخش‌های میانی حوضه و یکی به شکل مصنوعی) به عمق ۱۵ و ۲۰ متری ایجاد شده بود نمونه‌برداری از لایه‌های رسوبی ماسه‌های زیرزمین انجام گرفت(جدول ۱).

جدول شماره ۱: موقعیت جامعه نمونه‌های برداشت شده از کوه‌ریگها

جامعه	طول جغرافیایی	عرض جغرافیایی	فرهانی جامعه	ارتفاع زمین(متر)	سطح	عمق برداشت از سطح زمین
۱	۵۴° ۲۲' ۱۲"	۳۱° ۲۲'.۶"	۲	۱۹۰۰ و ۱۹۵۰ متر	۱۹۰۰ متر	۱۰ سانتی‌متر
۲	۵۴° ۲۵' ۱۴"	۳۱° ۲۳' ۳۷"	۴	۱۰، ۱۵ و ۱۰ متر	۲۲۳۰	عمق‌های ۱، ۴، ۱۰ و ۱۵ متر
۳	۵۴° ۲۳' ۳۱"	۳۱° ۲۴' ۳۳"	۴	۱۵ سانتی‌متر	۲۲۵۰	۱۵ سانتی‌متر
۴	۵۴° ۲۰' ۰۷"	۳۱° ۲۵' ۱۶"	۵	۱۰، ۱۵، ۲۰ و ۱۰ متر	۲۰۱۰	۱۰، ۱۵، ۲۰ و ۱۰ متر
۵	۵۴° ۲۱' ۱۵"	۳۱° ۲۱' ۴۶"	۱	۱۰ سانتی‌متر	۲۳۸۰	۱۰ سانتی‌متر

رسوب‌های برداشت شده را داخل بسته‌های مخصوص قرار داده و به آزمایشگاه منتقل شدند. در این مرحله به منظور بررسی شاخص‌های دانه‌بندی (گرانولومتری)، ابتدا نمونه‌های برداشت شده از عرصه در سینی ریخته شد تا از بقایای گیاهی و ذرات اضافی پاک شوند. سپس دانه‌بندی نمونه‌ها، براساس روش الک خشک ۱ که به نام آنالیز الک ۲ معروف است، انجام گرفت. بدین منظور با استفاده از الک‌های ۱۰۰۰، ۱۰۰۰، ۱۲۵، ۱۸۰، ۲۵۰، ۵۰۰، ۹۰، ۴۵ و کمتر از ۴۵ میکرون، از هر نمونه در حدود ۴۵۰ گرم به مدت ۲۰ دقیقه الک شد و محتوى رسوب باقی‌مانده بر روی هر الک بدقت وزن گردید. به منظور تعیین شاخص‌های دانه‌بندی از نرم‌افزار Gradistat استفاده شد و پارامترهای آماری از قبیل قطر میانگین^۳، میانه، نما، جورشدگی^۴، کچشدگی^۵، کشیدگی^۶ و همچنین هیستوگرام برای مشخص نمودن منشا رسوبات تعیین گردید. سپس مقایسه‌های آماری و بررسی معنی‌دار بودن اختلاف بین متغیرهای موردنتظر در نمونه‌های تهیه شده با استفاده از نرم‌افزار SPSS و روش واریانس یکراهه و آزمون توکی صورت گرفت تا رابطه بین این پارامترها با همدیگر مقایسه و سنجیده شده و درنهایت با تحلیل این آمارها فرایندهای اثرگذار بر شکل‌گیری و تحول کوه‌ریگ‌ها مشخص شود.

یافته‌های تحقیق

پس از گرانولومتری نمونه‌های رسوبی در آزمایشگاه و مشخص نمودن قطر دانه‌های رسوبی برای هر نمونه، با استفاده از نرم‌افزار Gradistat به تحلیل پارامترهای آماری نمونه پرداخته شد که نتایج آن در جدول زیر(جدول ۲) آمده است:

جدول ۲: تحلیل پارامترهای آماری رسوبی کوه‌ریگ‌های محدوده تنگ چنار

شماره نمونه	نوع رسوب	ارتفاع نمونه	جامعه	میانگین	میانه	نما	جور شدگی	کشیدگی	چولگی	تعداد نما
۱	ماسه درشت	۲۲۵۰	۳	۱/۲۳۸	۱/۳۴۵	۱/۵	۰/۸۴۴	۱/۰۲۷	۰/-۰۹۷	یک نما
۲	ماسه متوسط	۲۲۳۰	۲	۰/۸۲۲	۰/۵۸۲	۰/۳۶۸	۰/۹۰۴	۱/۰۳۸	۰/۵۵۳	یک نما
۳	ماسه درشت	۲۲۵۰	۳	۱/۲۵۰	۱/۱۰۰	۰/۸۶۸	۰/۹۵۸	۰/۸۷۶	۰/۲۶۳	چند نما
۴	ماسه درشت	۲۲۳۲	۲	۱/۰۵۲	۱/۰۴۷	۰/۳۶۸	۱/۰۳۸	۰/۶۵۸	۰/۳۵۵	چند نما
۵	ماسه درشت	۲۲۳۵	۲	۱/۲۱۱	۱/۰۲۲	۰/۸۶۸	۱/۰۷۶	۰/۶۴۸	۰/۱۱۸	چند نما

1/ Dry sieve

2/ Sieve Analysis

3/ Mean Diameter

4/ Sorting

5/ Skewness

6/ Kurtosis

چند نما	۱/۰۰۰	۱/۳۲۱	.۶۹۹	.۳۶۸	.۴۱۲	.۴۴۸	۴	۲۰۳۰	ماسه متوسط	۶
چند نما	.۰۰۷۸	.۸۲۵	.۸۹۱	.۸۶۸	.۰۰۸۰	.۰۰۴۴	۱	۱۹۰۰	ماسه درشت	۷
چند نما	.۰۶۵۱	.۸۵۴	.۸۴۸	.۳۶۸	.۰۰۳۷۱	.۰۰۷۰۵	۱	۱۹۵۰	ماسه متوسط	۸
چند نما	.۰/-۱۰۳	۱/۰۲۶	.۶۷۸	۱/۵۰	۱/۳۲۴	۱/۲۴۴	۳	۲۲۵۰	ماسه درشت	۹
چند نما	.۰/۱۹۸	.۶۴۹	.۹۵۹	۱/۵۰	.۰/۹۷۲	۱/۰۳۲	۳	۲۲۵۰	ماسه درشت	۱۰
دو نما	.۰/۷۲۲	۱/۰۱۱	.۸۹۴	.۰/۲۲۲	.۰/۲۴۷	.۰/۲۵۷	۴	۲۰۱۵	ماسه ریز	۱۱
دو نما	.۰/۸۴۱	۱/۷۲۳	.۷۵۳	.۰/۲۸۴	.۰/۲۰۴	.۰/۱۳۱	۴	۲۰۲۰	ماسه خیلی ریز	۱۲
دو نما	.۰/۹۴۳	۱/۸۱	۱/۰۱۴	.۰/۲۳۷	.۰/۲۶۱	.۰/۲۶۹	۴	۲۰۱۴	ماسه ریز	۱۳
چند نما	۱/۰۰۰	۴/۰۳۴	۱/۱۷۳	.۳۶۸	.۰/۲۳۱	.۰/۴۲۲	۲	۲۲۴۵	ماسه ریز	۱۴
چند نما	.۰/۹۴۷	۳/۰۲۴	۱/۰۱۸	.۰/۳۶۸	.۰/۲۳۴	.۰/۲۰۹	۴	۲۰۱۰	ماسه ریز	۱۵
یک نما	۱/۰۲۶	.۰/-۱۰۳	.۶۷۸	۱/۵	۱/۳۲۴	۱/۲۸۶	۵	۲۲۸۰	ماسه درشت	۱۶

پس از تحلیل اولیه رسوب‌ها (جدول ۲) مشاهده گردید که برخی از این نمونه‌ها از نظر مناطق نمونه‌برداری شده و ویژگی‌های رسوبی شباهت‌های زیادی باهم دارند. بنابراین نمونه‌های رسوبی برداشت شده به پنج جامعه مختلف تقسیم و تحلیل‌ها به جای نمونه آماری رسوب‌ها بر روی جوامع آماری انجام گرفت. در زیر، نمایی از نقاط نمونه‌برداری شده و تصاویر مربوط به کوه‌ریگ‌های موردمطالعه نشان داده شده است (شکل‌های ۳ و ۴).



شکل ۳: مناطق نمونه برداری شده در محدوده تنگ چنار بر روی تصویر گوگل ارث



شکل ۴: نمونه‌های از کوه‌های مربوط به جوامع آماری مورد مطالعه، که شماره هر جامعه روی تصویر نوشته شده است. درواقع، برای هر جامعه یک تصویر آورده شده است.

پس از تحلیل رسوب‌های مربوط به کوه‌های ها و دسته‌بندی آن‌ها در پنج جامعه، هم‌اکنون ویژگی‌های کلی هر کدام از جوامع به شرح زیر بیان شده است:

جامعه اول: شامل حجم نسبتاً زیادی از رسوب‌ها به شکل ماسه در بخش‌های پایین دست حوضه بوده که در ارتفاعات حدود ۲۲۰۰ متر به بالا در منطقه مورد مطالعه بر روی دامنه جای گذاشته شده‌اند و تا جایی که شبیب دامنه‌ها اجازه داده به سمت کوه‌ها پیشروی کرده‌اند. بررسی‌های میدانی حاکی از نهشته‌گذاری این رسوب‌ها به شکل نزولی و از بالا به پایین دامنه‌ها در جهت نیروی نقل می‌باشد. چراکه مورفلوژی بخشی از این ماسه‌ها به شکل تالوس بوده که رأس آن‌ها

به سمت دامنه کوه است. بنابراین فرایند غالب و مؤثر در ایجاد آن‌ها فرایند دامنه‌ای و تخریب سنگ‌های گرانیتی به شکل دامنه‌ای تحت تأثیر یخ‌بندان و ذوب بخ می‌باشد. به همین دلیل، مورفولوژی و توپوگرافی کوه‌های گرانیتی کاملاً متأثر از شبی دامنه‌ها است. از آنجایی که شبی دامنه‌ها زیاد بوده، دامنه‌های رسوی نیز بر توپوگرافی پرشیب نهشته شده‌اند به‌گونه‌ای که شبی بیشتر آن‌ها بیش از ۷۰ درصد می‌باشد. نمونه‌های شماره ۷ و ۸ مربوط به این جامعه هستند. با توجه به نتایج به دست آمده از تحلیل‌های آماری مشخص گردید که این نمونه‌ها، دارای جورشدنگی متوسط بوده و نیز از لحاظ کشیدگی پهن هستند. نمونه ۷ از نظر کج شدنگی متقاضی بوده و نمونه ۸ دارای کج شدنگی منفی است (تمایل به سمت ذرات درشت‌دانه). همچنین دامنه‌های ماسه در نمونه ۷ دارای قطر ۶۰۰-۲۵۰ میکرون بوده درحالی که بیشتر دامنه‌ها در نمونه ۸ در حدود ۱۰۰۰ میکرون هستند و قطری بین ۶۰۰-۱۰۰۰ میکرون دارند.

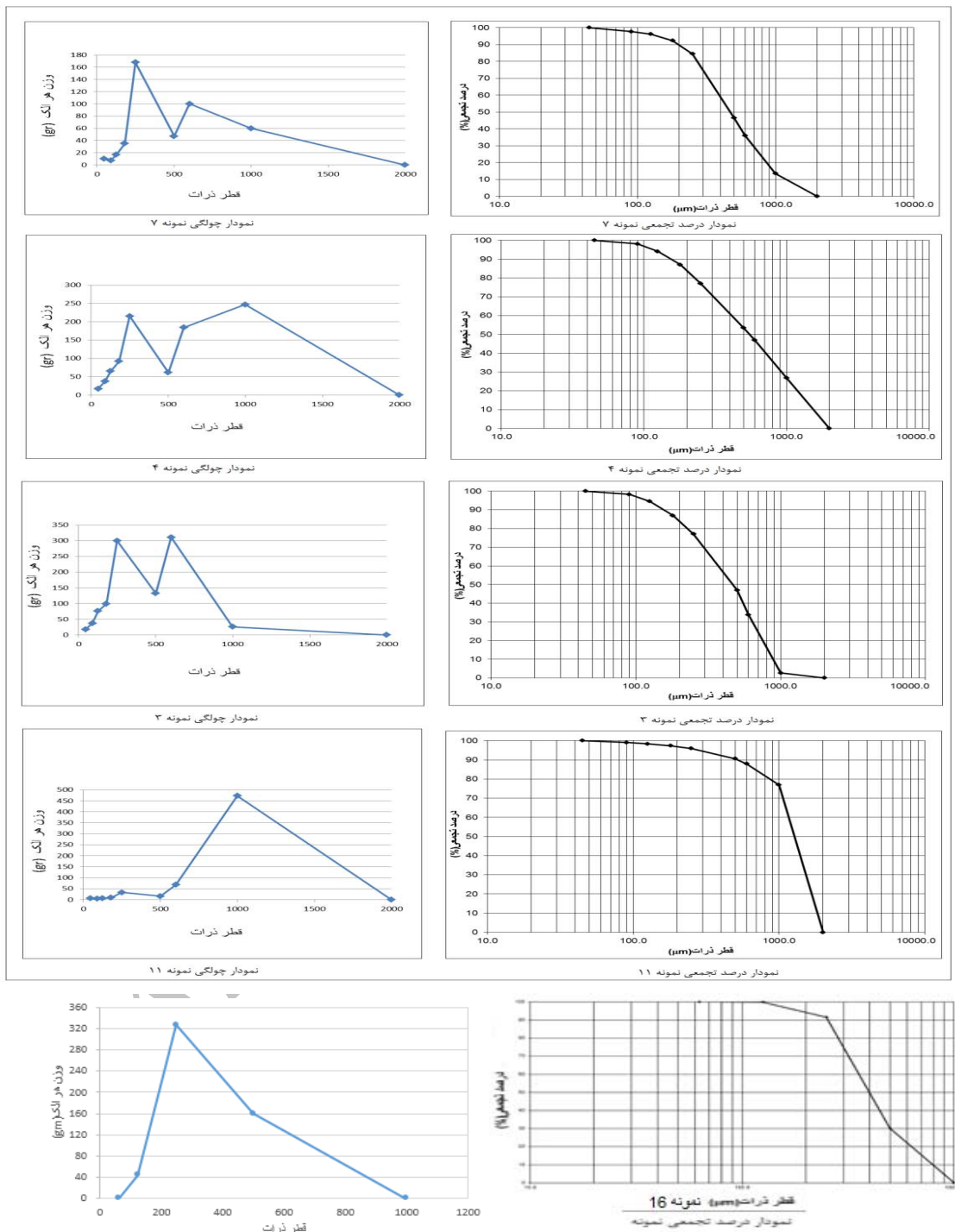
جامعه دوم: رسوب‌های جامعه دوم از یک ترانشه در کنار دره رودخانه‌ای برداشت شده است. این ترانشه ۲۰ متر ضخامت داشته و ۴ نمونه رسوی از آن در عمق‌های ۱۵، ۲۰، ۱۰ و ۵ متری برداشت گردیده است. نمونه‌های ۲ و ۴ و ۵ و ۱۴ جزء این جامعه هستند. از نظر رسوب‌شناسی همه آن‌ها ماسه‌های درشت‌دانه تا گراول‌ها را شامل می‌شوند. رسوب‌های نزدیک سطح زمین از قطر درشت‌تری به نسبت لایه‌های رسوی زیرین برخوردارند. به طوری که نمونه ۵ این جامعه قطر بالای ۱۰۰۰ میکرون دارد. از نظر منشأ شکل‌گیری، تنها هیستوگرام نمونه ۲ این جامعه تک نما بوده و بقیه نمونه‌های رسوی حاکی از دست کم دو یا سه منشأ بودن رسوبات دارند. تحلیل‌های رسوی همچنین نشان می‌دهد که هیچ‌کدام از نمونه‌های موجود در این جامعه جور شده نبوده اما همه آن‌ها از کج شدنگی منفی برخوردارند. از نظر کشیدگی نیز هیچ‌کدام از نمونه کشیدگی بالایی را نشان نمی‌دهند.

جامعه سوم: رسوب‌های این جامعه در بخش‌های میانی حوضه و اغلب در اطراف رودخانه فرعی بزرگ و مخروط‌افکنه بسیار بزرگ این رودخانه قرار گرفته است. حجم رسوب‌ها در این منطقه بسیار زیاد است که دلیل آن رسوبات آبرفتی مخروط‌افکنه و رودخانه است که بخش زیادی از آن‌ها توسط بادها جابجا شده است. بنابراین عوامل اصلی تأثیرگذار در این بخش رودخانه‌ها بوده که حجم زیادی از ماسه‌ها را به این بخش انتقال و سپس نهشته‌ای-ماسه‌ای رسوی توسط بادها جابجا و به سمت دامنه کوه‌ها حرکت کرده‌اند. بنابراین هم در مطلق کم شبی تر و هم در پای دامنه‌ها این رسوبات انباسته شده است. نمونه‌های ۱، ۳، ۹ و ۱۰ مربوط به این جامعه هستند. با توجه تحلیل رسوبات مشخص گردید که جورشدنگی نمونه‌ها نسبتاً خوب بوده و تنها نمونه ۹ جورشدنگی خیلی ضعیف دارد. از نظر کج شدنگی نمونه ۱ متقاضی بوده درحالی که سایر نمونه‌ها کج شدنگی منفی (تمایل به سمت ذرات درشت‌دانه) دارند. همچنین نمونه ۱ کشیده بوده و سایر نمونه‌ها پهن و خیلی پهن هستند. همه نمونه‌ها دارای قطری بین ۱۰۰۰-۲۵۰ میکرون هستند که نشان می‌دهد سرعت فرایندهای انتقال‌دهنده و احتمالاً باد غالب متفاوت بوده است. در جامعه ۳ نیز با توجه به درشت‌دانه بودن ذرات مشخص می‌گردد که رسوب‌گذاری در یک محیط پرانرژی و نزدیک صورت گرفته است.

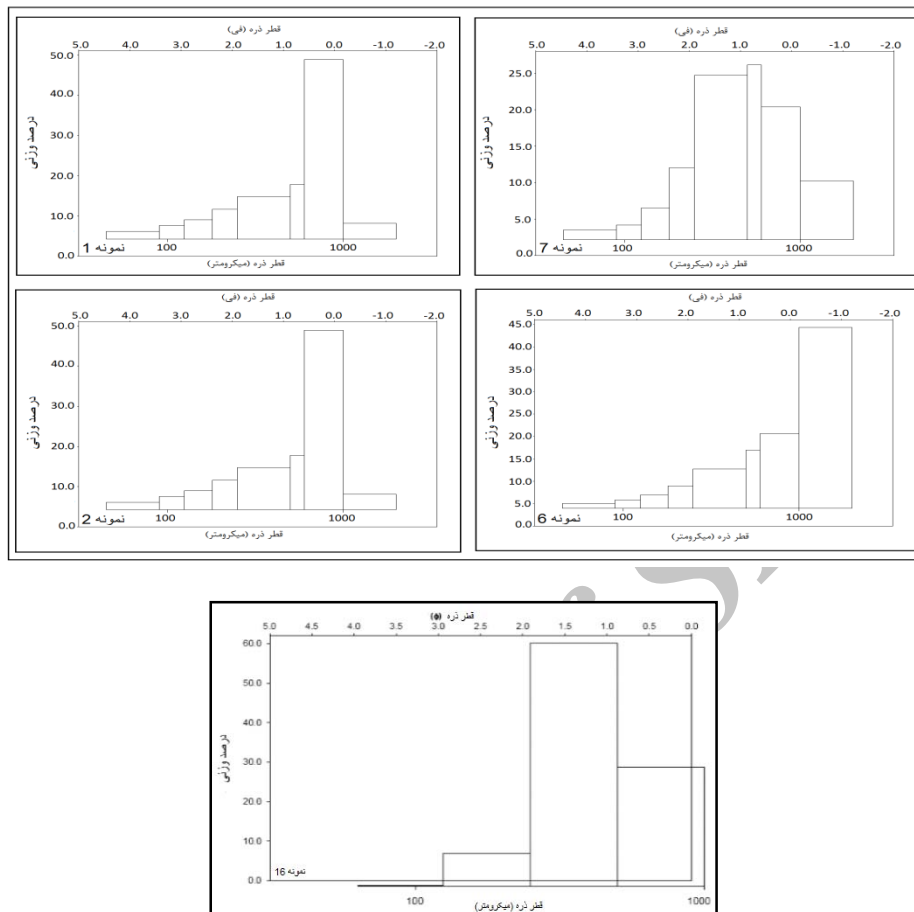
جامعه چهارم: نمونه‌های رسوی این جامعه در بخش‌های بالادست حوضه و از یک سطح نسبتاً هموار و کم شبی برداشت شده است. رسوب‌های این منطقه ظاهراً فرایندهای بادی متأثر بوده و مطالعات دانه سنجی نیز این موضوع را تأیید نمود. درواقع، رودخانه رسوب‌های ماسه‌ای بالادست رو به این بخش منتقل و سپس بادها آن را در سطح پراکنده‌اند. در این بخش ماسه‌ها لایه‌بندی مشخصی نداشته و لندرم خاصی را هم به وجود نیاورده‌اند. چراکه برخلاف تپه‌های ماسه‌ای میدان و گستره مناسبی برای این کار در داخل دره پیدا نکرده‌اند. در بخش‌های بالایی این محدوده رسوب‌ها از فرایندهای دامنه‌ای نیز اثر پذیرفته و قطعه‌سنگ‌های نسبتاً بزرگی در داخل رسوب‌ها بر جای گذاشته‌اند. نمونه‌های ۶، ۱۱، ۱۲ و ۱۵ مربوط به جامعه چهارم هستند. با توجه به نتایج به دست آمده از تحلیل پارامترهای آماری مشخص گردید که نمونه‌ها کج شدنگی بسیار منفی (تمایل به سمت ذرات درشت‌دانه) دارند. همچنین از لحاظ کشیدگی، نمونه ۶ کشیده و سایر نمونه به دلیل وجود قلوه‌سنگ بسیار کشیده هستند. جورشدنگی در نمونه‌های ۶ و ۱۲ نسبتاً خوب و در سایر

نمونه‌ها متوسط است. قطر ذرات در نمونه‌ها بیشتر کمتر از ۵۰۰ میکرون بوده که البته ذرات ریزتر غالب هستند. به دلیل وجود قلوه‌سنگ‌ها در این جامعه رسوبی، میانگین قطر ذرات بیشتر بوده و از این نظر می‌توان بیان داشت که از نظر فرایند جابجایی، انتقال و رسوب‌گذاری این جامعه به دو منطقه ناهمگون قابل تقسیم است که حاکی از تفاوت در نوع فرایند، میزان و مقدار جابجایی و میزان نزدیکی به دامنه‌های بالادست است.

جامعه پنجم: در این جامعه تنها یک نمونه رسوبی برداشت شده است. دلیل آن مشخصه یکسان رسوب‌های این بخش از منطقه موردمطالعه است. این نمونه رسوبی از ارتفاع ۲۳۸۰ متر منطقه و در بخش پایین‌دست حوضه آبریز بر روی دامنه‌های شرقی شیرکوه برداشت گردیده است. رسوب‌ها به شکل واریزه‌های دامنه‌ای از بالا به پایین قرارگرفته‌اند و در حال حاضر در مرحله شکل زایی‌اند. فرایند غالب ایجاد آن تخریب و هوازدگی و پایین آمدن رسوب‌ها تحت تأثیر نیروی ثقل است. بنابراین فرایندهای آبی-بادی نقشی در ایجاد یا تغییر آن‌ها ندارند. نمونه رسوبی ۱۶ تنها نمونه مربوط به این جامعه آماری است. در شکل (۵) نمودارهای درصد تجمعی و چولگی، در شکل (۶) نمودارهای ستونی برخی از نمونه‌ها برای مقایسه آن‌ها با همیگر آورده شده است.



شکل ۵: نمایش نمودارهای تجمعی و چولگی پنج جامعه آماری مورد مطالعه که شماره نمودار در پایین هر کدام از نمودارها آورده شده است.



شکل ۶: نمودار ستونی(هیستوگرام) توزیع اندازه ذرات و نمایش تعداد نمای آن‌ها، شماره نمونه در پایین نمودارها آمده است.

به منظور تجزیه و تحلیل دانه‌بندی رسوبات و پارامترهای آماری به دست آمده در تیجۀ گرانولومتری و تحلیل آن‌ها و همچنین بررسی فرایندهای مؤثر در انتقال، جابجایی و نهشتگذاری دانه‌های رسوبی و تفاوت در نوع فرایند، با استفاده از نرم‌افزار SPSS و روش واریانس یکراهه و آزمون توکی، معنی‌دار بودن اختلاف بین متغیرهای مختلف در سطح ۹۵ درصد در کوهریگ‌ها به شرح زیر مورد بررسی قرار گرفت. در جدول زیر آنالیز واریانس متغیر قطر میانگین نشان داده شده است.

جدول ۳: آنالیز واریانس متغیر قطر میانگین

	جمع مربعات	درجه آزادی	میانگین مربعات	آزمون فیشر	سطح معنی‌داری
تغییرات بین گروه‌ها	1203314/355	۳	401104/785	17/364 /000	
تغییرات داخل گروه‌ها	277204/915	۱۲	23100/410		
کل	1480519/270	۱۵			

با توجه به جدول (۳) مشاهده می‌شود که سطح معنی‌داری کمتر از ۰/۰۱ است. بنابراین در مورد قطر میانگین تفاوت معنی‌دار بین ۴ گروه کوهریگ وجود دارد. بهمنظور بررسی این موضوع، آزمون توکی صورت پذیرفت که نتایج آن در جدول (۴) نشان داده شده است.

جدول ۴: نتایج آزمون توکی برای متغیر قطر میانگین

(I)جامعه	(J)جامعه	اختلاف میانگین (I-J)	خطای استاندارد	سطح معنی‌داری	فاصله‌ی اطمینان ۹۵%	
					حد پایینی	حد بالایی
جامعه ۱	۲ جامعه	-38/775000	131/625633	/991	-429/55849	352/00849
	۳ جامعه	99/775000	131/625633	/872	-291/00849	490/55849
	۴ جامعه	-532/600000*	124/097837	/005	-901/03421	-164/16579
جامعه ۲	۱ جامعه	38/775000	131/625633	/991	-352/00849	429/55849
	۳ جامعه	138/550000	107/471879	/586	-180/52338	457/62338
	۴ جامعه	-493/825000*	98/107954	/001	-785/09781	-202/55219
جامعه ۳	۱ جامعه	-99/775000	131/625633	/872	-490/55849	291/00849
	۲ جامعه	-138/550000	107/471879	/586	-457/62338	180/52338
	۴ جامعه	-632/375000*	98/107954	/000	-923/64781	-341/10219
جامعه ۴	۱ جامعه	532/600000*	124/097837	/005	164/16579	901/03421
	۲ جامعه	493/825000*	98/107954	/001	202/55219	785/09781
	۳ جامعه	632/375000*	98/107954	/000	341/10219	923/64781

با توجه به جدول (۴) مشاهده می‌شود که نمونه‌های جامعه ۴ از نظر قطر میانگین دارای اختلاف معنی‌دار در سطح ۹۵ درصد با سایر نمونه‌ها هستند (سطح معنی‌داری کمتر از ۰/۰۱)، درحالی که رسوب‌های ۱، ۲ و ۳ با یکدیگر اختلاف معنی‌داری ندارند. بنابراین با توجه به نزدیک بودن عدد سطح معنی‌داری آن‌ها، رسوبات ۱، ۲ و ۳ در یک گروه و رسوب ۴ در گروه جداگانه قرار می‌گیرند. در زیر جدول (۵) آنالیز واریانس متغیر جورشدگی نشان آورده شده است.

جدول (۵) آنالیز واریانس متغیر جورشدگی

	سطح معنی‌داری٪	آزمون فیشر	میانگین مربعات	درجه آزادی	جمع مربعات
تغییرات بین گروه‌ها	/437	3	/146	/015	5/258
تغییرات داخل گروه‌ها	/332	12	/028		
کل	/769	15	/146		

با توجه به جدول (۵) مشاهده می‌شود که سطح معنی‌داری کمتر از ۰/۰۱ است. بنابراین در مورد جورشدگی تفاوت معنی‌دار بین ۴ گروه کوهریگ وجود دارد. بنابراین آزمون توکی صورت پذیرفت که نتایج آن در جدول (۶) نشان داده شده است.

جدول ۶: نتایج آزمون توکی برای متغیر جورشدگی

(I) جامعه	(J) جامعه	اختلاف میانگین (I-J)	خطای استاندارد	سطح معنی‌داری	فاصله‌ی اطمینان %۹۵	
					حد پایینی	حد بالایی
جامعه ۱	۲ جامعه	-/099500	/144114	/899	-/52736	/32836
	۳ جامعه	/049000	/144114	/986	-/37886	/47686
	۴ جامعه	/303000	/135872	/170	-/10039	/70639
جامعه ۲	۱ جامعه	/099500	/144114	/899	-/32836	/52736
	۳ جامعه	/148500	/117669	/602	-/20085	/49785
	۴ جامعه	/402500*	/107416	/013	/08359	/72141
جامعه ۳	۱ جامعه	-/049000	/144114	/986	-/47686	/37886
	۲ جامعه	-/148500	/117669	/602	-/49785	/20085
	۴ جامعه	/254000	/107416	/138	-/06491	/57291
جامعه ۴	۱ جامعه	-/303000	/135872	/170	-/70639	/10039
	۲ جامعه	-/402500*	/107416	/013	-/72141	-/08359
	۳ جامعه	-/254000	/107416	/138	-/57291	/06491

با توجه به جدول (۶) مشاهده می‌شود که جامعه ۲ و ۴ از نظر جورشدگی دارای تفاوت معنی‌دار در سطح ۹۵ درصد هستند. در زیر جدول آنالیز واریانس(جدول ۷) متغیر چولگی نشان داده شده است.

جدول ۷: آنالیز واریانس متغیر چولگی

	جمع مربعات	درجه آزادی	میانگین مربعات	آزمون فیشر	سطح معنی‌داری /
تغییرات بین گروه‌ها	20/611	3	6/870	12/787	/000
تغییرات داخل گروه‌ها	6/447	12	/537		

	جمع مربعات	درجه آزادی	میانگین مربعات	آزمون فیشر	سطح معنی‌داری /
تغییرات بین گروه‌ها	20/611	3	6/870	12/787	/000
تغییرات داخل گروه‌ها	6/447	12	/537		
کل	27/058	15			

با توجه به جدول (۷) مشاهده می‌شود که سطح معنی‌داری کمتر از ۰/۰۱ است. بنابراین در مورد چولگی تفاوت معنی‌دار بین ۴ گروه کوهریگ وجود دارد. بنابراین آزمون توکی صورت پذیرفت که نتایج آن در جدول (۸) نشان داده شده است.

جدول ۸: نتایج آزمون توکی برای متغیر چولگی

(I) جامعه	(J) جامعه	اختلاف میانگین (I-J)	خطای استاندارد	سطح معنی‌داری	فاصله‌ی اطمینان %۹۵	
					حد پایینی	حد بالینی
جامعه ۱	۲ جامعه	/212500	/634787	/986	-1/67212	2/09712
	۳ جامعه	-/390000	/634787	/926	-2/27462	1/49462
	۴ جامعه	2/231000*	/598483	/013	/45416	4/00784
جامعه ۲	۱ جامعه	-/212500	/634787	/986	-2/09712	1/67212
	۳ جامعه	-/602500	/518301	/660	-2/14128	/93628
	۴ جامعه	2/018500*	/473142	/005	/61379	3/42321
جامعه ۳	۱ جامعه	/390000	/634787	/926	-1/49462	2/27462
	۲ جامعه	/602500	/518301	/660	-/93628	2/14128
	۴ جامعه	2/621000*	/473142	/001	1/21629	4/02571
جامعه ۴	۱ جامعه	-2/231000*	/598483	/013	-4/00784	-/45416
	۲ جامعه	-2/018500*	/473142	/005	-3/42321	-/61379
	۳ جامعه	-2/621000*	/473142	/001	-4/02571	-1/21629

نتایج جدول (۸) نیز نشان می‌دهد که مانند متغیر قطر میانگین، چولگی نیز بین جامعه ۴ و سایر نمونه‌ها تفاوت معنی‌دار در سطح ۹۵ درصد دارد. بنابراین رسوبات ۱، ۲ و ۳ در یک گروه و رسوب ۴ در گروه دیگر قرار می‌گیرند. در زیر جدول آنالیز واریانس (جدول ۹) متغیر کشیدگی نشان داده شده است.

جدول ۹: آنالیز واریانس متغیر کشیدگی

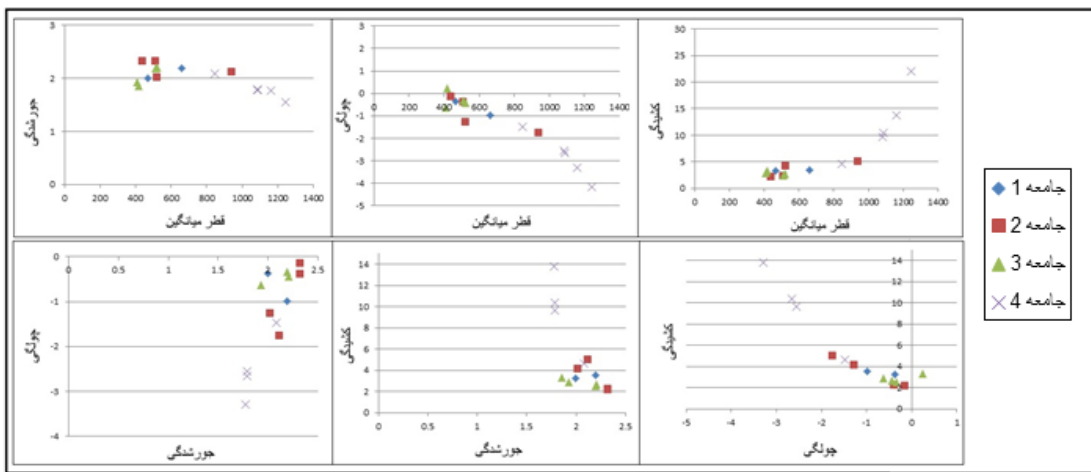
	جمع مربعات	درجه آزادی	میانگین مربعات	آزمون فیشر	سطح معنی‌داری /
تغییرات بین گروه‌ها	318/574	3	106/191	7/218	/005
تغییرات داخل گروه‌ها	176/553	12	14/713		
کل	495/126	15			

با توجه به جدول (۹) مشاهده می‌شود که سطح معنی‌داری کمتر از ۰/۰۱ است. بنابراین در مورد کشیدگی تفاوت معنی‌دار بین ۴ گروه کوهریگ وجود دارد. بنابراین آزمون توکی صورت پذیرفت که نتایج آن در جدول (۱۰) نشان داده شده است.

جدول ۱۰: نتایج آزمون توکی برای متغیر کشیدگی

(I)جامعه	(J)جامعه	اختلاف میانگین (I-J)	خطای استاندارد	سطح معنی‌داری	فاصله‌ی اطمینان ۹۵٪	
					حد پایینی	حد پایینی
جامعه ۱	۲ جامعه	-/000750	3/321829	1/000	-9/86293	9/86143
	۳ جامعه	/551750	3/321829	/998	-9/31043	10/41393
	۴ جامعه	-8/986000	3/131850	/059	-18/28415	/31215
جامعه ۲	۱ جامعه	/000750	3/321829	1/000	-9/86143	9/86293
	۳ جامعه	/552500	2/712262	/997	-7/49994	8/60494
	۴ جامعه	-8/985250*	2/475945	/016	-16/33609	-1/63441
جامعه ۳	۱ جامعه	-/551750	3/321829	/998	-10/41393	9/31043
	۲ جامعه	-/552500	2/712262	/997	-8/60494	7/49994
	۴ جامعه	-9/537750*	2/475945	/011	-16/88859	-2/18691
جامعه ۴	۱ جامعه	8/986000	3/131850	/059	-31215	18/28415
	۲ جامعه	8/985250*	2/475945	/016	1/63441	16/33609
	۳ جامعه	9/537750*	2/475945	/011	2/18691	16/88859

نتایج جدول ۱۰ نیز نشان می‌دهد که از نظر متغیر کشیدگی بین جامعه ۴ و جامعه ۲ و ۳ تفاوت معنی‌دار در سطح ۹۵ درصد دارد. همچنین به منظور بررسی اختلافات در متغیرهای مورد مطالعه در ۱۵ نمونه مورد مطالعه، آنالیز دومتغیره صورت پذیرفت و منحنی‌های بایوپلات ترسیم گردید که در شکل ۲۰-۴ نشان داده شده است:



شکل ۷: آنالیز دومتغیره نمونه‌های مورد مطالعه

با توجه به شکل (۷) مشاهده می‌شود که نمونه‌های رسوی جوامع مختلف به لحاظ دو پارامتر آماری مورد بررسی یعنی جوشندگی و قطر میانگین تفاوت‌های زیادی باهم دارند. بر اساس این مقایسه، حداکثر تفاوت بین همه جوامع، مربوط به جامعه چهار بوده که از نظر جوشندگی و میانگین قطر رسویات با جوامع دیگر خیلی متفاوت است. تفاوت چشمگیر بین نمونه‌های رسوی جوامع حاکی از نقش فرایندهای مختلف در شکل‌گیری و تحول کوههای گردانی می‌کند. فرایند بادی جوشندگی بیشتری به همراه دارد اما فرایندهای آبی و دامنه‌ای از جوشندگی کمتر و میانگین قطر رسویات بیشتر برخوردارند.

نتیجه‌گیری

نتایج بررسی کوههای منطقه تنگ چنار نشان داد که این عارضه نوع خاص و منحصر به فردی از انباست دانه‌های رسوی عمده‌آ ماسه در مناطق بیابانی با آب و هوای خشک به شمار آورد که برخلاف تصور اولیه بادها نقش اصلی را در شکل‌گیری و بهویژه توسعه و تکامل آن ایفا نکرده‌اند. هرچند که ویژگی‌های رسوی آن‌ها به‌ظاهر بسیار مشابه مشخصات رسوی تپه‌های ماسه‌ای با منشأ و دخالت فرایند بادهای غالب است. اما بررسی‌های بیشتر و آزمایش‌های رسوی‌شناسی بر روی رسویات کوههای حوضه آبریز تنگ چنار تفاوت در شرایط محیطی و اقلیمی شکل‌گیری و همچنین پروسه توسعه و تحول و همچنین فرگشت آن‌ها را با تپه‌های ماسه‌ای و سایر رسویات دانه‌ای و ماسه‌ای نشان داد. برای مثال، بسیاری از این رسویات بر روی دامنه‌های پرشیب و در پای این دامنه‌ها و همچنین بر روی سطوح هموار و کم شیب قرار گرفته‌اند. درحالی‌که بادها قادر به انتقال رسویات درشت‌دانه بر روی این ارتفاعات با شیب بیش از ۳۰ درصد، آن‌هم برخلاف جهت شیب نیست. قرارگیری آن‌ها نیز در یک جهت خاص جغرافیایی نبوده بلکه در همه جهات پراکنده‌اند. بعلاوه، در بین لایه‌های رسوی ماسه‌ای، بهویژه در نقاط پای دامنه‌ها و یا نزدیک به دامنه‌ها گراول‌ها و قلوه‌سنگ‌های درشت‌دانه‌ای نیز وجود دارد که این امر به دلیل دخالت فرایندهای دامنه‌ای در توسعه و برآیش این رسویات است. در سواحل رودخانه‌ها و همچنین مناطق هموار در پایین دست حوضه، در بین رسویات ریزدانه آبرفت‌ها با لایه‌های متناوب و بعض‌اً ضخیم نیز مشاهده می‌شود که حاکی از دوره‌های متناوب و متفاوت اقلیمی دراثنای شکل‌گیری و تحول کوههای گردانی می‌باشد. برای مقایسه رسویات جوامع مختلف با یکدیگر از نظر پارامترهای آماری، از نرم‌افزار SPSS و روش واریانس یکراهه و آزمون توکی نیز استفاده گردید. بررسی و تحلیل نمونه‌های رسوی برداشت شده از منطقه نشان داد که رسویات کوههای در بخش‌های مختلف از نظر میانگین، میانه، نما، جوشندگی، کشیدگی و کج شدگی از همدیگر تفاوت‌های چشمگیری دارند. برخی از نمونه‌ها از جوشندگی بسیار خوبی برخوردار بوده درحالی‌که برخی دیگر از نمونه‌ها از این نظر بسیار جو ناشده بودند. از نظر میانگین نیز، از حدود ۴۰۰ میکرون تا بیشتر از ۱۲۰۰ میکرون را

می‌توان در بین نمونه‌ها مشاهده نمود/ کشیدگی و چولگی رسوبات نیز در نمونه‌ها و جوامع مختلف با همدیگر بسیار متفاوت است. این بدین معنی است که یک فرایند واحد مانند باد در تشکیل همه کوهريگ‌های منطقه به تنها بی عمل نکرده است. بلکه، فرایندهای دیگری مانند فرایندهای دامنه‌ای و آب‌های جاری نیز هرکدام به طور جداگانه یا به شکل ترکیبی در به وجود آوردن تهنشسته‌های رسوبی نقش داشته‌اند. بر این اساس، شکل منحنی‌های نرمال، منحنی-های تجمعی و هیستوگرام‌های ترسیمی از کوهريگ‌ها با اشکال حاصله از ویژگی‌های رسوبی مناطق بیابانی و ساحلی و دیگر مناطق رسوبی با منشأهای مختلف بادی، رودخانه‌ای، یخچالی، آبی-بادی و غیره متفاوت است. همان‌طور که از مشاهده اشکال هیستوگرام نمونه‌ها و جوامع مختلف رسوبی بر می‌آید اغلب دو یا چند فرایند در نهشته‌گذاری رسوبی کوهريگ‌های این محدوده نقش داشته‌اند. همچنین، تحلیل دقیق‌تر نمونه‌ها و جوامع رسوبی حاکی از دخالت فرایندهای دامنه‌ای، کوهريختی، فلوبالی، بادی، بادی-آبی در قلمرو مورفوژنتیک و مورفوکلیماتیک جنب یخچالی با رخمنون سنگ‌های دانه‌ای مانند گرانیت‌ها در محدوده مطالعاتی می‌باشد. بدین شکل طبیعی است که انحراف معیار در نمونه‌های مختلف جوامع پنج‌گانه زیاد است. از این‌رو، منحنی‌های تجمعی، در جوامع مختلف مورد بررسی به یک‌شکل نبوده و این بدین معنی است که ذرات به شکل یکسان و یکنواخت پخش نشده‌اند. منحنی‌های ترسیم‌شده و شکستگی در امتداد آن‌ها برای جوامع و نمونه‌های مختلف حاکی از آن است که مکانیسم‌های حمل در نمونه‌های رسوبی متفاوت است. شاید یکی از نقاط مشترک همه نمونه‌های رسوبی برداشت شده آن است که این رسوبات در مقایسه با پهنه‌های رسوبی دیگر عمده‌اً از قطرهای بزرگ‌تری تشکیل شده‌اند اما تفاوت عمدی این رسوب‌ها با همه انواع دیگر رسوب‌های ماسه‌ای، تفاوت در پارامترهای هندسی رسوبات از جمله قطر متوسط، میانگین، میانه، نما، جور شدگی، کشیدگی و پهن شدگی این رسوبات از یک‌سو و نقش فرایندهای دامنه‌ای در فرگشت آن‌ها به شکل قرارگیری تخته‌سنگ و قلوه‌سنگ در میان لایه‌های رسوبی ریزدانه است. اغلب نمونه‌ها قطر متوسط بیشتر از ۵۰۰ میکرون داشته و قطر برخی از دانه‌های رسوبی داخل نمونه (جامعه ۲ و ۳) بیش از ۴ میلی‌متر بودند. بنابراین، باد با هیچ شدتی قادر به جابجایی آن‌ها نبوده و به دلیل یکسانی و همگونی در اندازه دانه‌های بزرگ برخی نمونه‌ها، به نظر می‌رسد که آن‌ها از روی دامنه‌ها و تحت تأثیر نیروی گرانی زمین پایین آمده باشند. بررسی‌های میدانی نشان داد که اغلب این کوهريگ‌ها در حال حاضر ثابت بوده و فعالیتی ندارند. از این‌رو، احتمالاً این عارضه‌ها در دوره‌های اقلیمی سرد و مرطوب گذشته ایجاد شده و توسعه پیدا نموده‌اند. دمای سرد شرایط یخ‌بندان و ذوب یخ را فراهم نموده و سنگ‌ها پس از متلاشی و تخریب شدن به شکل فیزیکی به شکل دانه‌های رسوبی به‌پایی دامنه‌ها ریخته و توسط جریان آب ناشی از ذوب یخ به سمت شیب‌های پایین‌تر حرکت نموده‌اند. در این قسمت‌ها، به دلیل همواری بیشتر زمین، بخشی از این ذرات رسوبی توسط بادها نیز انتقال پیداکرده و به اطراف پراکنده شده‌اند.

منابع

- مهرشاهی، داریوش؛ تامس، دیوید؛ بیتمن، مارک و اوهارا، سارا (۱۳۷۷) چگونگی تشکیل، تحول و تعیین سن کوهريگ اردکان یزد، تحقیقات جغرافیایی، شماره ۵۱، صص. ۱۰۲-۱۲۰
- مهرشاهی، داریوش و فرزاد خسرویانی، ۱۳۸۹، تعیین منشأ کوهريگ‌های دامنه با ختری تپه‌های بغداد آباد مهریز با ترکیب داده‌های ژئومورفولوژی، کانی‌شناسی، سنجش از دور و سیستم اطلاعات جغرافیایی، دومین همایش ملی فرسایش بادی، یزد، انجمن علمی مدیریت و کنترل مناطق بیابانی ایران.
- مهرشاهی، داریوش، ۱۳۹۰، کوهريگ شناسی: مطالعات موردی در استان یزد، جغرافیا و توسعه، شماره ۲۵: ۱۵۹-۱۷۸.

- -Bertram, S., ۲۰۰۳, Late Quaternary sand ramps in south-western Namibia: nature, origin and palaeoclimatological significance, Unpublished doctoral thesis, Universität Würzburg , Available online at Dissertation_Silke_Bertram, pdfaccessed ۰۴.۰۵.۱۱,
- -Bateman, M., D.; Bryant, R., G.; Foster, I.; Livingstone, I, And Parsons, A., J,(2012) on the formation of sand ramps: A case study from the Mojave Desert, *Geomorphology*, vol 161-162, pp, 93-109
- -Clarke, M.L., Richardson, C.A., Rendell, H.M., ۱۹۹۶a, Luminescence dating of the Mojave desert sands, *Quaternary Science Reviews* ۱۴, ۷۸۳–۷۸۹
- -Clarke, M.L., Wintle, A.G., Lancaster, N., ۱۹۹۶b, Infra-red stimulated luminescence dating of sands from the Cronese Basins, Mojave Desert, *Geomorphology*, 17, ۱۹۹–۲۰۶
- -Lancaster, N, and J.R., Hallward(1984) A bibliography of desert dunes, Cape Town: Department of Environmental and Geographical Sciences, Univ, Cape Town,
- -Lancaster, N., 1995, *Geomorphology of Desert Dunes*: London, Rutledge, 290 p,
- -Lancaster, N., and Tchakerian, V., P, (1996) *Geomorphology and sediments of sand ramps in the Mojave Desert*, *Geomorphology*, 17(1): 151-165
- -Lancaster, N,(1990) *Dune morphology and chronology*, Kelso Dunes, Mojave Desert, California: Geological Society of America Abstracts with Programs, v, 22, p, A86,
- -Kumar, A.; Srivastava, P, and Meena, N, K, (2016) Late Pleistocene Aeolian in the cold desert of Ladakh: A record from sand ramps, *Quaternary international*, in press
- -Livingstone, I, & A, Warren (1996): *Aeolian Geomorphology*, Longman, London,
- -Rendell, H.M., Sheffer, N.L., 1996, Luminescence dating of sand ramps in the Eastern Mojave Desert, *Geomorphology* 17, 187–197.
- -Tchakerian, V.P., 1991, Late Quaternary aeolian geomorphology of the Dale Lake sand Sheet, southern Mojave Desert, California, *Physical Geography* 12, 347–437,
- -Tchakerian, V.P., Lancaster, N, (2002) Late Quaternary arid/humid cycles in the Mojave desert and -western Great Basin of North America, *Quaternary Science Reviews* 21,799–810,
- -Telfer, M.W., Thomas, Z.A., Breman, B, (2012) Sand ramps in the Golden Gate Highlands
- National Park, South Africa: evidence of periglacial Aeolian activity during the Last glacial, *Paleogeography, Paleoceanography, Paleoclimatology* 313–4, 59–69,
- -Thomas, D.S.G., Bateman, M.D., Mehrshahi, D., OHara, S.L,(1997) Development and environmental significance of an Aeolian sand ramp of last-glacial age, central Iran, *Quaternary Research* 48, 155–161,
- -Turner, B.R., Makhlof, I, (2002) recent colluvial sedimentation in Jordan: fans evolving into sand ramps, *Sedimentology* 49, 1283–1298,
- -Zimbelman, J.R., Williams, S.H. and Tchakerian, V.P. (1995)Sand transport paths in the Mojave Desert, southwestern United States. In: V.P. Tchakerian (Editor), *Desert Aeolian Processes*. Chapman and Hall, London, pp. 101-130.